УДК 538.953

# ПОВЕРХНОСТНОЕ НАТЯЖЕНИЕ РАСТВОРА ПРОПАН-МЕТАН В ИНТЕРВАЛЕ ТЕМПЕРАТУР 318.15—333.15 К

© 2024 г. М. Н. Хотиенкова<sup>1</sup>, В. Н. Андбаева<sup>1, \*</sup>

 $^{1}$  Федеральное государственное бюджетное учреждение науки «Институт теплофизики Уральского отделения Российской академии наук», Екатеринбург, Россия

\*E-mail: andbaeva@mail.ru
Поступила в редакцию 02.05.2024
После доработки 13.05.2024
Принята к публикации 31.05.2024

Представлены результаты измерения капиллярной постоянной раствора пропан—метан вдоль линии насыщения в интервале температур 318.15—333.15 К при давлениях от давления насыщения чистого пропана до 4 МПа. Определено поверхностное натяжение раствора. Построены уравнения, аппроксимирующие концентрационную и барическую зависимости поверхностного натяжения в исследованном интервале температур.

**Ключевые слова:** капиллярная постоянная, поверхностное натяжение, пропан, метан, растворимость, газонасыщенный раствор

DOI: 10.31857/S0367676524090026, EDN: OESAKR

### **ВВЕДЕНИЕ**

К основным экологическим проблемам современного мира относятся разрушение озонового слоя Земли, загрязнение атмосферы и Мирового океана и др. По данным World Energy Council, на угольные станции в США и Германии приходится более половины вырабатываемой электроэнергии, а в Австралии. Индии и Китае эта доля приближается к 80%. В России этот показатель не превышает 18%. Сжигание угля приводит к выбросам в атмосферу ядовитых веществ (SO<sub>2</sub>, NO, CO, Hg, As). Но самая большая проблема — это выброс углекислого газа. По этим причинам мировое сообщество постепенно переходит на альтернативные топлива и хладагенты. Согласно Монреальскому протоколу, хладагенты в охлаждающем оборудовании должны быть лишены возможности воспламеняться и соответствовать определенным экологическим требованиям [1]. Все больше набирает популярность оборудование, где в качестве рабочего вещества используется смесь углеводородов. В связи с этим встают задачи по исследованию различных свойств углеводородных систем.

Одним из важных физико-химических свойств является поверхностное натяжение  $\sigma$ . Оно играет ключевую роль в процессах кипения и конденсации. В кинетической теории нуклеации [2, 3] работа зародышеобразования новой фазы определяется третьей степенью  $\sigma$  [2].

В настоящей работе в качестве объекта исследования выбрана система пропан—метан. Данный раствор применяется в различных производственных процессах: изготовление стекла, плавильни, используется в качестве топлива для автотранспорта и авиации. Раствор пропан—метан обладает нулевым потенциалом разрушения озонового слоя и его использование может существенно уменьшить выбросы загрязняющих веществ в атмосферу по сравнению с традиционными видами топлива.

Обзор статей, посвященных экспериментальному определению поверхностного натяжения раствора пропан—метан представлен в работе [4]. Имеющиеся данные относятся к ограниченной области температур и не могут быть использованы для построения уравнения, позволяющего определить поверхностное натяжение раствора в интервале температур от тройной до критической точки растворителя — пропана (85.52—369.89 K). Данная работа является первой частью серии работ, посвященных определению поверхностного натяжения раствора пропан—метан в широком интервале температур и построению единого уравнения для поверхностного натяжения.

В работе представлены экспериментальные данные по поверхностному натяжению системы пропан—метан, полученные методом капиллярного поднятия. Приводится вид уравнения состояния, с помощью которого был определен состав раствора, а также плотности жидкой и паровой фаз.

Получены уравнения, описывающие барическую и концентрационную зависимости поверхностного натяжения в интервале температур 318.15—333.15 К.

# ЭКСПЕРИМЕНТ

Метод капиллярного поднятия позволяет определить капиллярную постоянную  $a^2$  исследуемого вещества из условия баланса давлений в сосуществующих фазах на уровне горизонтальной поверхности [5]. Дифференциальный вариант данного метода предполагает использование нескольких капилляров различного внутреннего диаметра (в эксперименте количество капилляров равно трем), что позволяет получить три независимых значения  $a^2$  и тем самым повысить надежность полученных данных. Схема экспериментальной установки и методика проведения эксперимента представлены в работе [6].

В эксперименте катетометром измеряются высоты поднятия жидкости  $h_i$  в стеклянных капиллярах различного внутреннего диаметра. В предположении полной смачиваемости стенок капилляра  $a^2$  можно определить по формуле:

$$a_{ij}^2 = h_{ij} / (b_i^{-1} - b_j^{-1})$$
 (1)

где  $h_{ij}$  — разность высот поднятия жидкости в двух капиллярах,  $b_i$  — радиус кривизны мениска в i-м капилляре.

Давление в системе, по значению которого определяется состав исследуемой смеси, измерялось пружинным манометром с неопределенностью  $u(p)=0.006~\mathrm{M}\Pi \mathrm{a}$ . Температура определялась с помощью платинового термометра сопротивления на 100 Ом с неопределенностью  $u(T)=0.02~\mathrm{K}$ . Термостатирование в эксперименте производилось прокачкой полиметилсилоксановой жидкости (ПМС-20) через циркуляционный термостат Julabo SL 12. Неопределенность измерения высоты столба жидкости в капилляре равна  $u(h)=0.03~\mathrm{mm}$ .

**Таблица 1.** Характеристики веществ, используемых в эксперименте.

| Веще-       | CAS<br>номер | Хими-<br>ческая<br>формула    | Источник                        | Чистота<br>вещества<br>(мольная<br>доля) |
|-------------|--------------|-------------------------------|---------------------------------|--|
| Про-<br>пан | 74-98-6      | C <sub>3</sub> H <sub>8</sub> | ООО<br>«Чистые<br>газы<br>плюс» | 0.9998                                   |
| Ме-         | 74-82-8      | CH <sub>4</sub>               | ООО<br>«Чистые<br>газы<br>плюс» | 0.9999                                   |

В табл. 1 представлена информация об используемых в эксперименте рабочих веществах.

Неопределенность капиллярной постоянной  $u(a^2)$  определяется точностью измерения высоты поднятия жидкости в капилляре  $(h_{ij})$  и точностью определения радиусов капилляров  $(r_i)$ :

$$u(a^{2}) = \sqrt{\left(\frac{\partial a^{2}}{\partial (\Delta h)}u(\Delta h)\right)^{2} + \left(\frac{\partial a^{2}}{\partial (r)}u(r)\right)^{2}} . \tag{2}$$

Объединенное стандартное отклонение капиллярной постоянной  $u_c(a^2)$  можно оценить, используя уравнение (2), куда входит неопределенность капиллярной постоянной  $u(a^2)$ , давления u(p) и температуры u(T).

$$u_{c}(a^{2}) = \sqrt{\left(u(a^{2})\right)^{2} + \left(\frac{\partial a^{2}}{\partial(p)}u(p)\right)^{2} + \left(\frac{\partial a^{2}}{\partial(T)}u(T)\right)^{2}}$$
(3)

Подробный расчет неопределенности капиллярной постоянной и поверхностного натяжения представлен в наших предыдущих работах [6, 7].

Наибольший вклад оказывает неопределенность, связанная с определением радиуса капилляра, а максимальное значение  $u_{\rm c}(a^2)$  не превосходит  $0.030~{\rm mm}^2$ .

Стандартная неопределенность определения поверхностного натяжения  $u_{\rm c}(\sigma)$  не превосходит 0.077 мН/м и складывается из неопределенности капиллярной постоянной, разности ортобарических плотностей жидкой и паровой фаз, рассчитанных по уравнению состояния, а также давления и температуры.

#### **РЕЗУЛЬТАТЫ**

В ходе опытов капиллярная постоянная раствора пропан—метан измерена при четырех значениях температуры: 318.15, 323.15, 328.15 и 333.15 К от давления насыщения чистого пропана до 4 МПа. Результаты экспериментов  $(T, p, a^2)$  представлены в табл. 2.

Зависимость капиллярной постоянной раствора пропан—метан от давления представлена на рис. 1а. Здесь же пунктирной линией показана капиллярная постоянная чистого пропана [8]. Во всем исследованном диапазоне T и p зависимость капиллярной постоянной является квадратичной функцией давления. Увеличение давления (что соответствует росту концентрации метана в растворе) приводит к уменьшению капиллярной постоянной.

Поверхностное натяжение рассчитано по формуле [5, 9]:

$$\sigma = 0.5ga^2\Delta\rho\,,\tag{4}$$

**Таблица 2.** Температура T, давление p, концентрация метана в жидкой фазе x, концентрация метана в паровой фазе у, капиллярная постоянная  $a^2$ , разность ортобарических плотностей  $\Delta \rho$  и поверхностное натяжение  $\sigma$ раствора пропан-метан

| <i>T</i> , K | р, МПа | <i>х</i> , моль % | <i>у</i> , моль % | $a^2$ , $MM^2$ | $\Delta$ ρ, κγ/ $M^3$ | σ, мН/м |
|--------------|--------|-------------------|-------------------|----------------|-----------------------|---------|
| 318.15       | 1.534  | 0                 | 0                 | 2.238          | 424.3                 | 4.66    |
| 318.15       | 1.819  | 1.50              | 12.02             | 2.117          | 416.6                 | 4.33    |
| 318.15       | 2.388  | 4.61              | 28.76             | 1.927          | 402.1                 | 3.80    |
| 318.15       | 2.982  | 8.01              | 42.20             | 1.670          | 388.2                 | 3.18    |
| 318.15       | 3.415  | 10.61             | 50.43             | 1.501          | 378.1                 | 2.79    |
| 318.15       | 3.948  | 13.98             | 58.70             | 1.308          | 364.6                 | 2.34    |
| 323.15       | 1.713  | 0                 | 0                 | 2.039          | 410.2                 | 4.11    |
| 323.15       | 2.366  | 3.14              | 20.90             | 1.741          | 392.2                 | 3.35    |
| 323.15       | 2.975  | 6.77              | 34.37             | 1.523          | 376.6                 | 2.82    |
| 323.15       | 3.389  | 9.16              | 42.29             | 1.372          | 366.6                 | 2.47    |
| 323.15       | 3.922  | 12.44             | 51.33             | 1.181          | 353.3                 | 2.05    |
| 328.15       | 1.907  | 0                 | 0                 | 1.838          | 395.1                 | 3.56    |
| 328.15       | 2.593  | 3.52              | 19.32             | 1.564          | 374.9                 | 2.88    |
| 328.15       | 3.020  | 5.81              | 27.93             | 1.399          | 363.1                 | 2.49    |
| 328.15       | 3.457  | 8.25              | 35.78             | 1.211          | 351.6                 | 2.09    |
| 328.15       | 3.947  | 11.16             | 43.96             | 1.040          | 339.0                 | 1.73    |
| 333.15       | 2.117  | 0                 | 0                 | 1.634          | 378.5                 | 3.04    |
| 333.15       | 2.401  | 1.45              | 59.81             | 1.495          | 369.1                 | 2.71    |
| 333.15       | 2.794  | 3.41              | 65.51             | 1.364          | 357.2                 | 2.39    |
| 333.15       | 3.179  | 5.44              | 69.40             | 1.214          | 345.5                 | 2.06    |
| 333.15       | 3.564  | 7.54              | 71.81             | 1.064          | 334.3                 | 1.75    |
| 333.15       | 3.950  | 9.74              | 74.00             | 0.972          | 323.4                 | 1.47    |

где g = 9.8162 H/кг – ускорение свободного паде- и паровой  $\mu''$  фаз первого и второго компонентов ния,  $\Delta \rho = \rho_1 - \rho_2$  – разность ортобарических плот- раствора: ностей жидкой и паровой фаз.

Состав сосуществующих фаз раствора и значения ортобарических плотностей определены по равновесному значению давления, используя уравнение состояния GERG-2004 [10]. В данной модели приведенная энергия Гельмгольца раствора представлена в виде:

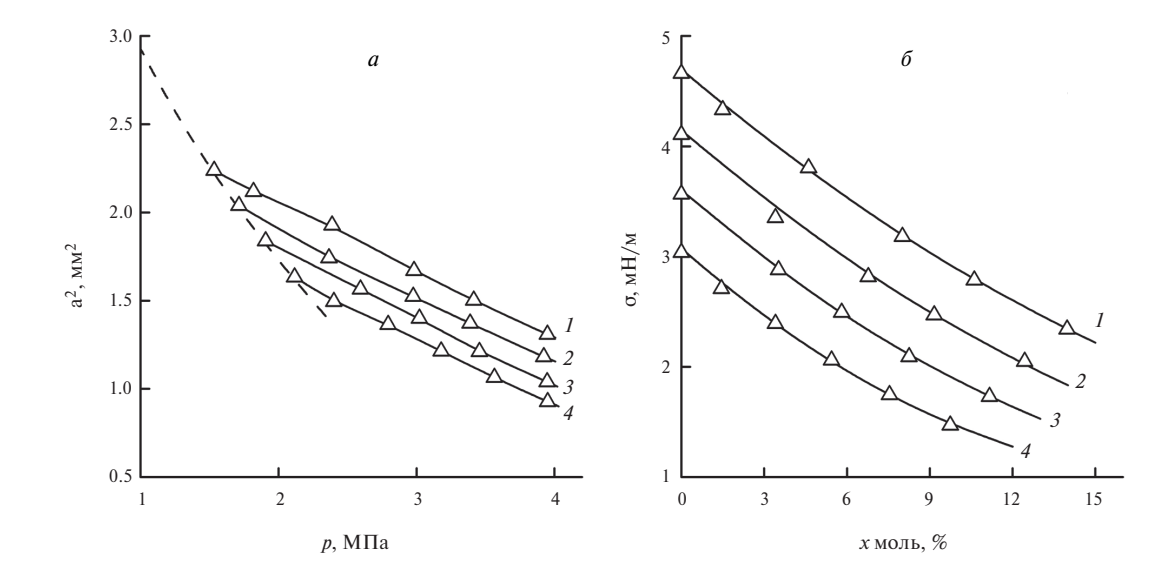
$$\alpha = \alpha^0 + \alpha^m + \alpha^r, \tag{5}$$

где  $\alpha^0$  — описывает свойства идеально газовой смеси при заданной плотности раствора, температуре и молярном составе, α<sup>m</sup> – описывает неидеальность раствора,  $\alpha^{r}$  — задает свойства чистых компонентов раствора. На линии фазового равновесия должны быть равны давления жидкой p'и паровой p'' фаз, а также химические потенциалы жидкой  $\mu'$ 

$$\begin{cases} p' = p'' \\ \mu_1' = \mu_1'' \\ \mu_2' = \mu_2'' \end{cases}$$
 (6)

Решение данной системы уравнений (6) проведено методом Ньютона-Рафсона [11]. Результаты расчета  $(x, y, \Delta \rho \, \text{и } \sigma)$  представлены в табл. 2.

Концентрационные зависимости поверхностного натяжения раствора пропан-метан представлены на рис. 16. В исследованном диапазоне параметров состояния изотермы поверхностного натяжения описываются квадратичными функциями концентрации метана в жидкой фазе раствора x. Для зависимости поверхностного натяжения от давления характерна аналогичная зависимость.



**Рис. 1.** Барическая зависимость капиллярной постоянной (*a*) и концентрационная зависимость поверхностного натяжения (*б*) раствора пропан—метан по изотермам. (1 - T = 318.15 K; 2 - 323.15; 3 - 328.15; 4 - 333.15).

Можно записать следующие соотношения для зависимостей поверхностного натяжения от давления и концентрации метана в жидкой фазе раствора:

$$\sigma = \sigma_0 + C_{p_1} \cdot (p - p_s) + C_{p_2} \cdot (p - p_s)^2,$$
 (7)

$$\sigma = \sigma_0 + C_{x_1} \cdot x + C_{x_2} \cdot x^2 \tag{8}$$

Здесь  $p_{\rm s}$  — давление чистого пропана на линии насыщения [12],  $C_{\rm p_l} = \left(\frac{\partial \sigma}{\partial p}\right)_{\rm T}, \ C_{\rm p_2} = \frac{1}{2} \left(\frac{\partial^2 \sigma}{\partial p^2}\right)_{\rm T},$   $C_{\rm x_1} = \left(\frac{\partial \sigma}{\partial x}\right)_{\rm T}, C_{\rm x_2} = \frac{1}{2} \left(\frac{\partial^2 \sigma}{\partial x^2}\right)_{\rm T}$  и  $\sigma^0$  — поверхностное натяжение чистого пропана [13]:

$$\sigma_0 = \sigma \cdot \varepsilon^{\mu} \left( 1 + \gamma_1 \varepsilon + \gamma_2 \varepsilon^5 \right), \tag{9}$$

где  $\sigma_*$  = 57.81 мH/м,  $\mu$  = 1.271,  $\gamma_1$  = -0.144,  $\gamma_2$  = 0.226,  $\epsilon$  =  $1 - T/T_c$  ( $T_c$  = 370.4 K) [13],

$$\ln\left(\frac{p_{\rm s}}{p_{\rm c}}\right) = \frac{T_{\rm c}}{T} \left(n_{\rm l}\varepsilon + n_{\rm 2}\varepsilon^{1.5} + n_{\rm 3}\varepsilon^{2.2} + n_{\rm 4}\varepsilon^{4.8} + n_{\rm 5}\varepsilon^{6.2}\right), (10)$$
где  $n_{\rm l} = -6.7722, n_{\rm 2} = 1.6938, n_{\rm 3} = -1.3341, n_{\rm 4} = -3.1876, n_{\rm 5} = 0.94937, p_{\rm c} = 1.2512 \ {\rm M}\Pi {\rm a} \ [12].$ 

Функции  $C_{\rm p1}\left(\epsilon\right),\ C_{\rm p2}\left(\epsilon\right),\ C_{\rm x1}\left(\epsilon\right),\ C_{\rm x2}\left(\epsilon\right)$  могут быть записаны в виде

$$C_{p1} = c_{10} \left( 1 + c_{11} \cdot \varepsilon + c_{12} \cdot \varepsilon^2 \right) \tag{11}$$

$$C_{p2} = c_{20} \left( 1 + c_{21} \cdot \varepsilon + c_{22} \cdot \varepsilon^2 \right) \tag{12}$$

$$C_{x_1} = c_{30} \left( 1 + c_{31} \cdot \varepsilon + c_{32} \cdot \varepsilon^2 \right)$$
 (13)

$$C_{x2} = c_{40} \left( 1 + c_{41} \cdot \varepsilon + c_{42} \cdot \varepsilon^2 \right)$$
 (14)

Коэффициенты уравнений (11)—(14) определены методом регрессионного анализа, значения

**Таблица 3.** Значения коэффициентов  $c_{ii}$  ур. (11) — (14)

|          | i        |          |          |           |  |  |  |
|----------|----------|----------|----------|-----------|--|--|--|
| <i>J</i> | 1        | 2        | 3        | 4         |  |  |  |
| 0        | -1.25239 | 0.80571  | -0.25361 | 0.03217   |  |  |  |
| 1        | -2.92379 | 13.2976  | -1.55878 | -12.31512 |  |  |  |
| 2        | 15.50458 | 47.84864 | 3.64249  | 42.3587   |  |  |  |

представлены в табл. 3.

На рис. 2 показаны отклонения экспериментальных данных по поверхностному натяжению  $\sigma$  раствора пропан—метан от значений  $\sigma_{\rm eq}$ , рассчитанных по уравнениям (7) и (8) соответственно. На рис. 2 значение  $\delta \sigma = \sigma - \sigma_{\rm eq}$ . В исследованном интервале температур и при давлениях до 4 МПа максимальные отклонения получены на изотерме  $T=323.15~{\rm K}$ : 0.085 мН/м (от уравнения (7)) и 0,092 мН/м (от уравнения (8)).

Свойства реальных растворов отличаются от свойств, рассчитанных по правилу аддитивности. При температурах ниже критической температуры низкокипящего компонента (в данном случае критической температуры метана):

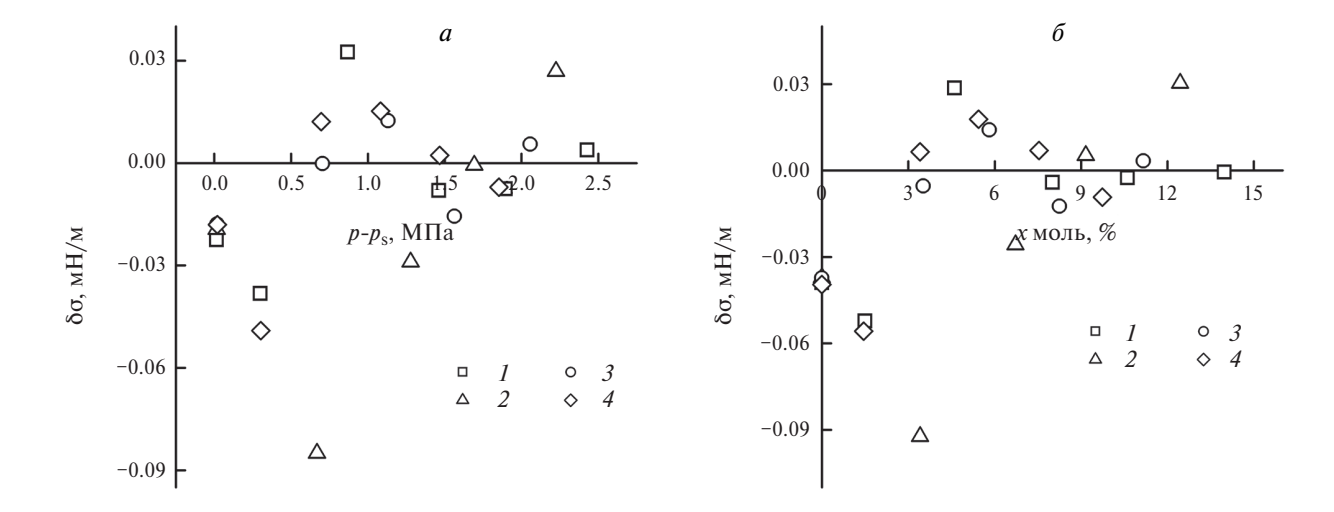


Рис. 2. Отклонения экспериментальных данных по поверхностному натяжению раствора пропан—метан от рассчитанных по уравнению (7) (а) и отклонения экспериментальных данных по поверхностному натяжению раствора пропан-метан от рассчитанных по уравнению (8) (б). (1-T = 318.15 K; 2-323.15; 3-328.15; 4-333.15.)

$$a_{\text{ad}}^2 = a_1^2 (1 - x) + a_2^2 x$$
, (15)

 $a_{\rm ad}^2 = a_{\rm l}^2 \left( 1 - x \right) + a_2^2 x \;, \tag{15}$  где  $a_{\rm l}^2$  — капиллярная постоянная чистого пропана,  $a_2^2$  — капиллярная постоянная чистого метана.

При температурах выше критической температуры метана ( $T_c = 190.54 \text{ K [5]}$ ):

$$a_{\rm ad}^2 = \left(1 - \frac{x}{x_{\rm c}}\right) a_{\rm l}^2 \tag{16}$$

где  $x_c$  — мольная доля метана на критической линии.

На рис. 3 представлены экспериментальные данные по критическим параметрам раствора пропан-метан [4, 14-17]. Зависимость  $x(T_c)$  была аппроксимирована уравнением вида:

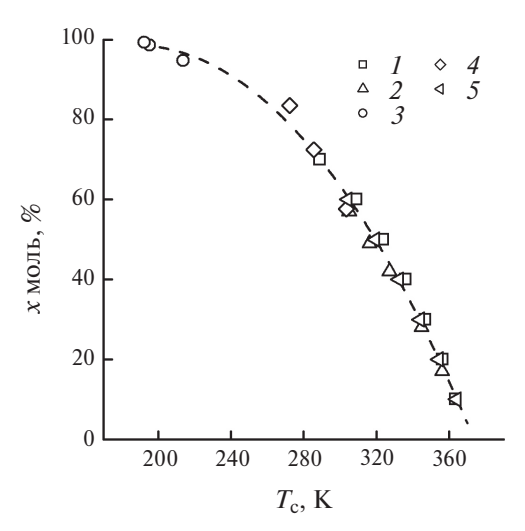
$$x(T_c) = l_1 + l_2 T_c + l_3 T_c^2 + l_4 T_c^3$$
, (17)

где  $l_1=15.734$  моль,  $\%,\ l_2=0.848$  моль,  $\%\cdot\mathrm{K}^{-1},\ l_3=$  = -1.94802 моль,  $\%\cdot\mathrm{K}^{-2},\ l_3=-1.16082\cdot10^{-6}$  моль,  $% \cdot K^{-3}$ 

Значения  $x_c$  для каждой изотермы рассчитаны по уравнению (17). Экспериментальные значения  $a^2(x)$ меньше значений, рассчитанных по правилу аддитивности [уравнение (16)]. Величина  $\Delta a^2 = a^2 - a_{\rm ad}^2$ проявляет слабую ассиметрию. Отклонения от аддитивности уменьшаются с повышением температуры. Минимумы на изотермах  $\Delta a^2(x)$  с ростом температуры смещаются в сторону меньших значений концентрации метана в растворе.

# ЗАКЛЮЧЕНИЕ

В интервале температур 318.15-333.15 К по четырем изотермам и при давлениях, не



**Рис.** 3. Критическая линия раствора пропан—метан: 1 - [15]; 2-[14]; 3-[16]; 4-[4], 5-[17], пунктирная линия – данные, рассчитанные по уравнению (17).

превышающих 4 МПа, получены данные по капиллярной постоянной и определено поверхностное натяжение раствора пропан-метан вдоль линии насыщения. Состав раствора и ортобарические плотности определены по уравнению состояния.

Увеличение доли метана в растворе приводит к понижению как капиллярной постоянной, так и поверхностного натяжения. Измерения проводились при температурах выше критической температуры метана, поэтому исследуемый раствор можно отнести к классу газонасыщенных растворов. В отличие от водорода и гелия, растворимость которых в жидких углеводородах достаточно мала (порядка 3-4 моль, %) [7, 18], в экспериментах с раствором пропан-метан

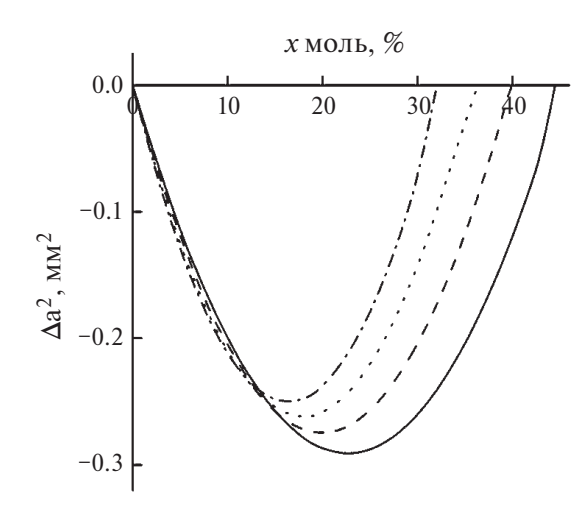


Рис. 4. Отклонение экспериментальных данных по капиллярной постоянной раствора пропан—метан от алдитивных значений, рассчитанных по уравнению (16): T = 318.15 K сплошная линия; 323.15 К — штриховая линия; 328.15 К — пунктирная линия; 333.15 К — штрих-пунктирная линия.

концентрация метана достигала 14 моль, %. Даже в условиях комнатной температуры и при нормальном давлении, растворяясь в пропане метан образует однородный газовый раствор.

Дальнейшее исследование данной системы (расширение температурного и концентрационного диапазона) позволит получить новые коэффициенты уравнений (7) и (8), описывающие поверхностное натяжение раствора пропан-метан в интервале температур от тройной до критической точки растворителя (пропана).

# СПИСОК ЛИТЕРАТУРЫ

- 1. *Llovell F.* // J. Chem. Eng. Data. 2020. V. 65. No. 9. P. 4175.
- 2. Baidakov V.G., Kaverin A.M., Andbaeva V.N. // J. Chem. Phys. B. 2022. V. 126. No. 51. P. 10907.
- Паршкова М.А., Липнягов Е.В. // Изв. РАН. Сер. физ. 2023. T. 87. № 11. C. 1554; Parshakova M.A.,

- Lipnyagov E.B. // Bull. Russ. Acad. Sci. Phys. 2023. V. 87. No. 11. P. 1586.
- 4. Seneviratne K.N., Hughes T.J., Johns M.L. et al. // J. Chem. Thermodynam. 2017. V. 111. P. 173.
- 5. Байдаков В.Г. Межфазная граница простых классических и квантовых жидкостей. Екатеринбург: УИФ «Наука», 1994.
- 6. Andbaeva V.N., Baidakov V.G. // Fluid Phase Equilib. 2023. V. 565. Art. No. 113644.
- 7. Андбаева В.Н., Хотиенкова М.Н. // Изв. РАН. Сер. физ. 2023. Т. 87. № 11. С. 1541; Andbaeva V.N., Khotienkova M.N. // Bull. Russ. Acad. Sci. Phys. 2023. V. 87. No. 11. P. 1575.
- 8. Andbaeva V., Baidakov V. // Fuel. 2020. V. 287. Art. No. 119546.
- 9. Андбаева В.Н., Хотиенкова М.Н., Каверин А.М. // Тезисы всеросс. конф. «XXXI Сибирский теплофизический семинар» (Новосибирск, 2014). С. 506.
- 10. Kunz O., Klimeck R., Wagner W., Jaeschke M. The GERG-2004 wide-range equation of state for natural gases and other mixtures. Düsseldorf: VDI Verlag GmbH, 2007. 555 p.
- 11. Волкова Е.А. Численные методы. М.: Физматлит, 2003. 249 с.
- 12. Lemmon E.W., McLinden M.O., Wagner W. // J. Chem. Eng. Data. 2009. V. 54. P. 3141.
- 13. Baidakov V.G., Sulla I.I. // J. Phys. Chem. 1985. V. 59.
- 14. Roof J.G., Baron J.D. // J. Chem. Eng. Data. 1967. V. 12. P. 292.
- 15. Reamer H.H., Sage B.H., Lacey W.N. // Ind. Eng. Chem. 1950. V. 42. P. 534.
- 16. Wichterle I., Kobayashi R. // J. Chem. Eng. Data. 1972. V. 17. P. 4.
- 17. Sage B.H., Lacey W.N., Schaafsma J.G. // Ind. Eng. Chem. 1934. V. 26. P. 214.
- 18. Андбаева В.Н., Хотиенкова М.Н. // Изв. РАН. Сер. физ. 2022. T. 86. № 2. C. 210: Andbaeva V.N.. Khotienkova M.N. // Bull. Russ. Acad. Sci. Phys. 2022. V. 86. No. 2. P. 154.
- 19. Sage B.H., Lacey W.N., Schaafsma J.G. // Ind. Eng. Chem. 1934. V. 26. P. 214.

# Surface tension of propane—methane solution in the temperature range of 318.15—333.15 K

M. N. Khotienkova<sup>1, \*</sup>, V. N. Andbaeva<sup>1</sup>

<sup>1</sup>The Institute of Thermal Physics of the Ural Branch of the Russian Academy of Sciences, Ekaterinburg, 620016, Russia \*e-mail: vandbaeva@mail.ru

We presented the results of measuring of the capillary constant of a propane-methane solution along the saturation line in the temperature range of 318.15—333.15 K at pressures from the saturation pressure of pure propane up to 4 MPa. The surface tension of the solution was determined. Equations approximating the concentration and pressure dependences of surface tension are constructed.

**Keywords:** capillary constant, surface tension, propane, methane, solubility, gas-saturated solution